

1/19

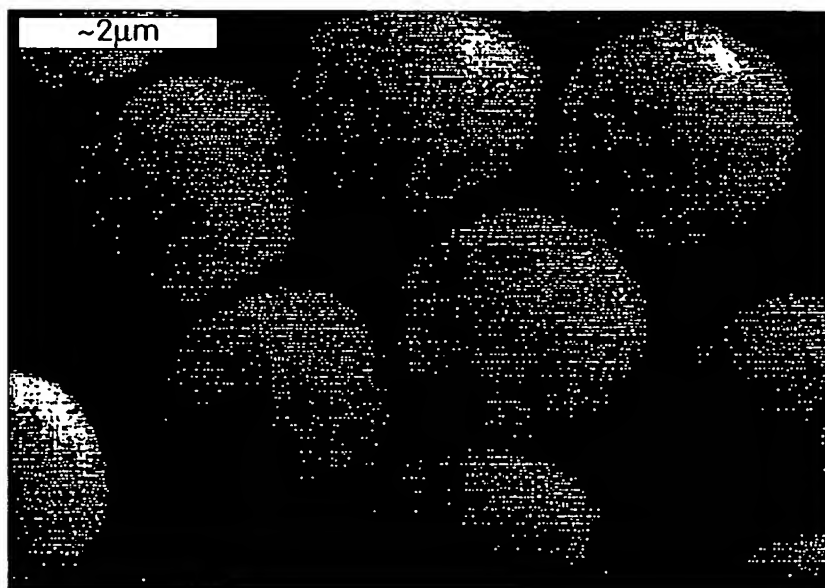


Fig. 1A

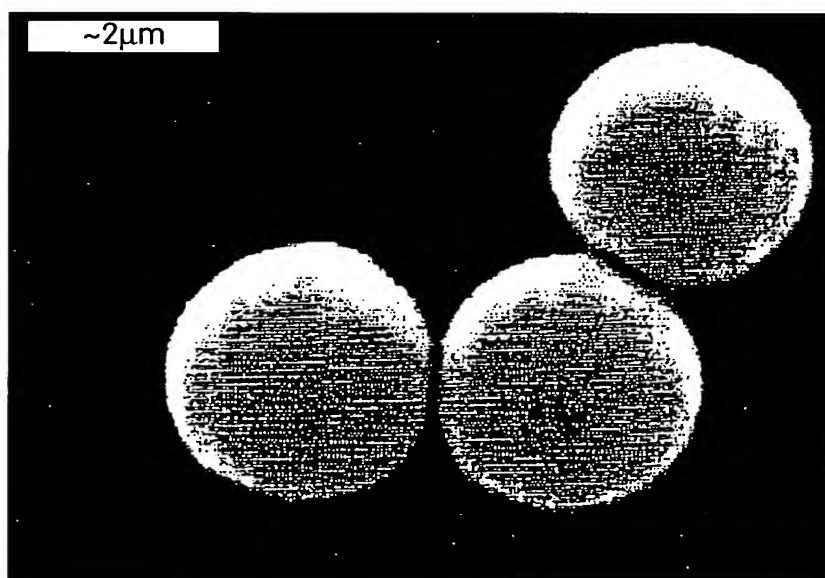


Fig. 1B

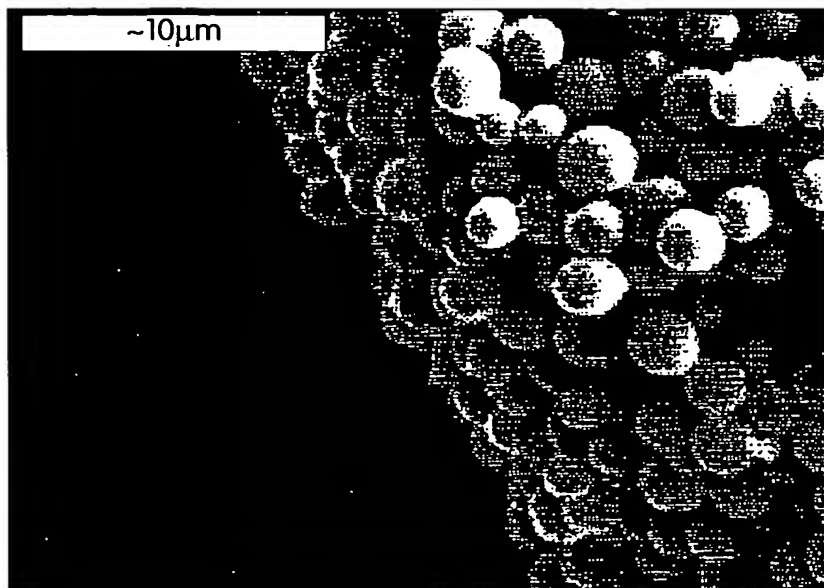


Fig. 2A

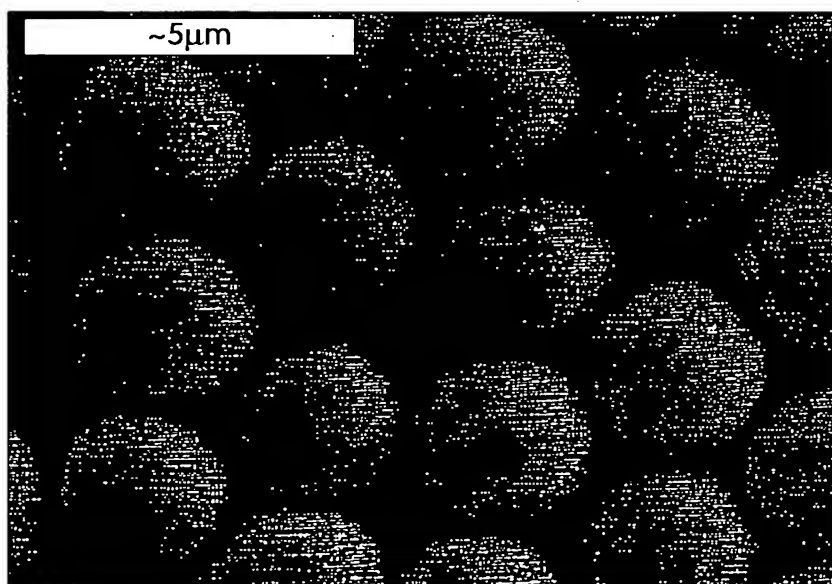


Fig. 2B

3/19

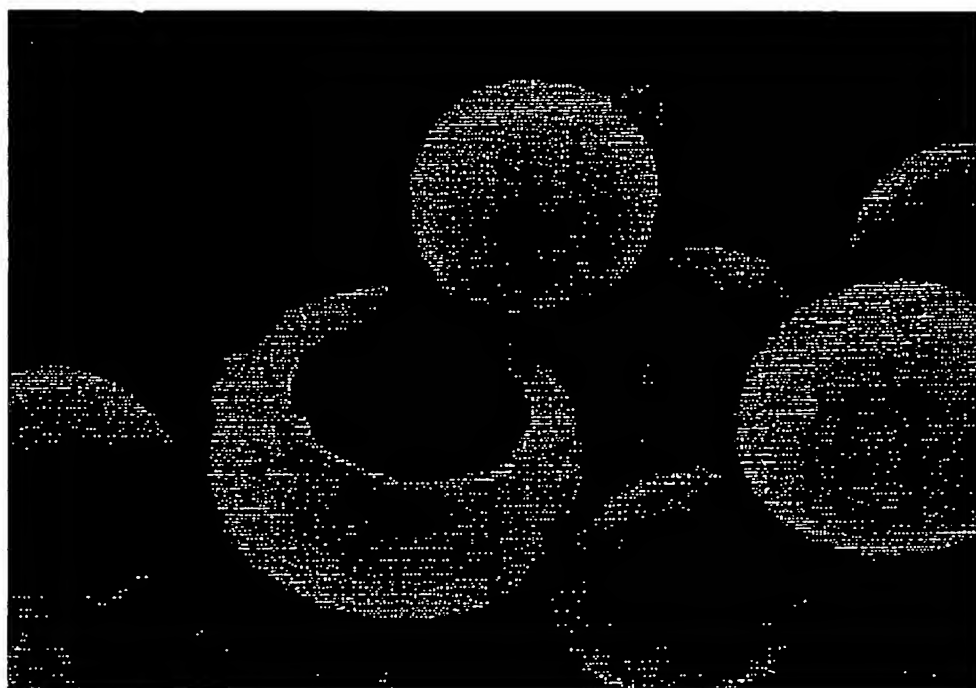


Fig. 3

4/19



Fig. 4A



Fig. 4B

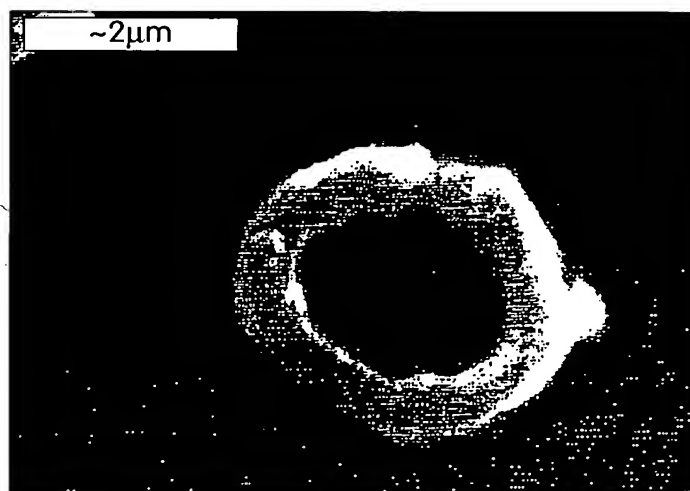


Fig. 4C

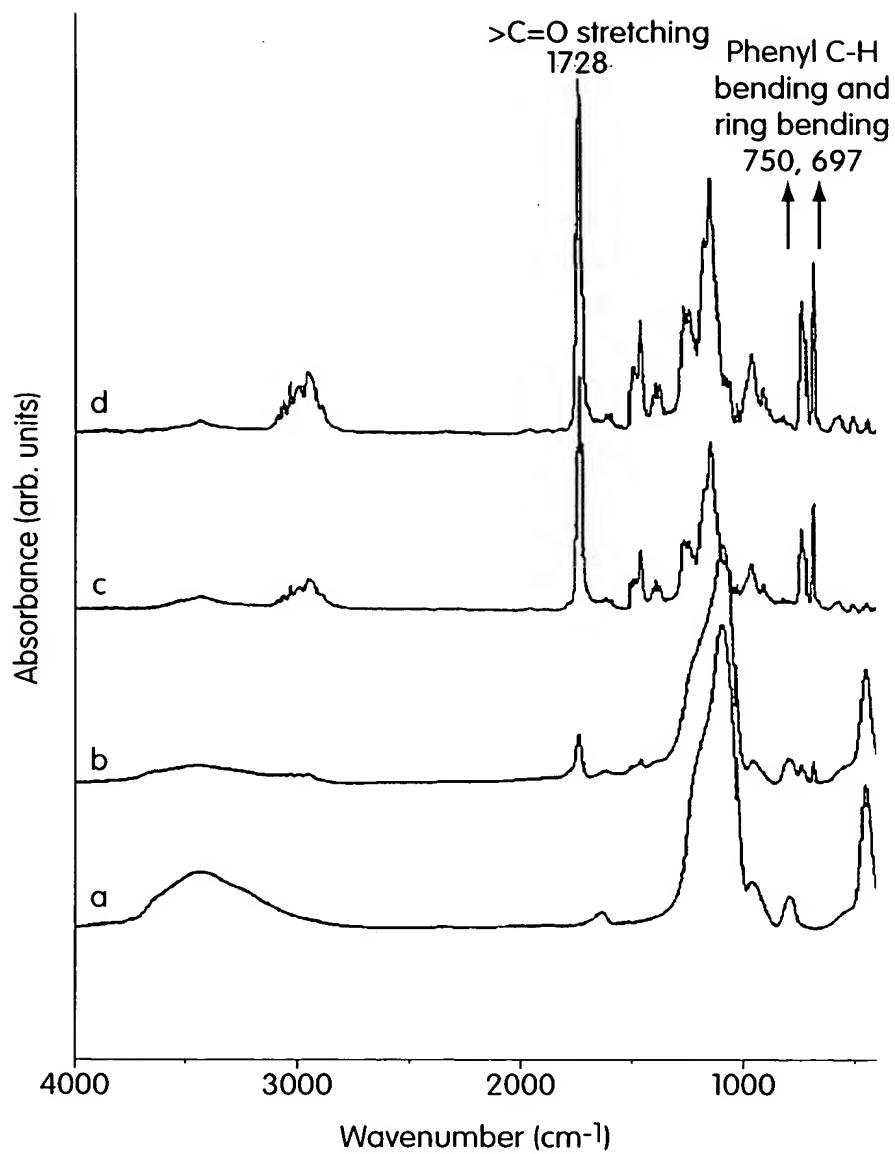
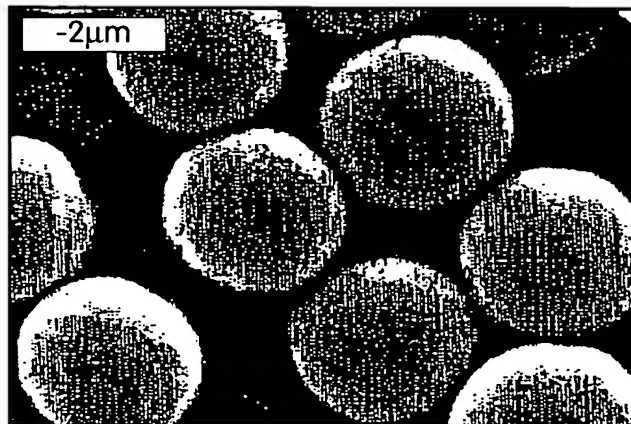


Fig. 5

6/19



Intact hollow microspheres

Fig. 6A



Broken hollow microspheres

Fig. 6B

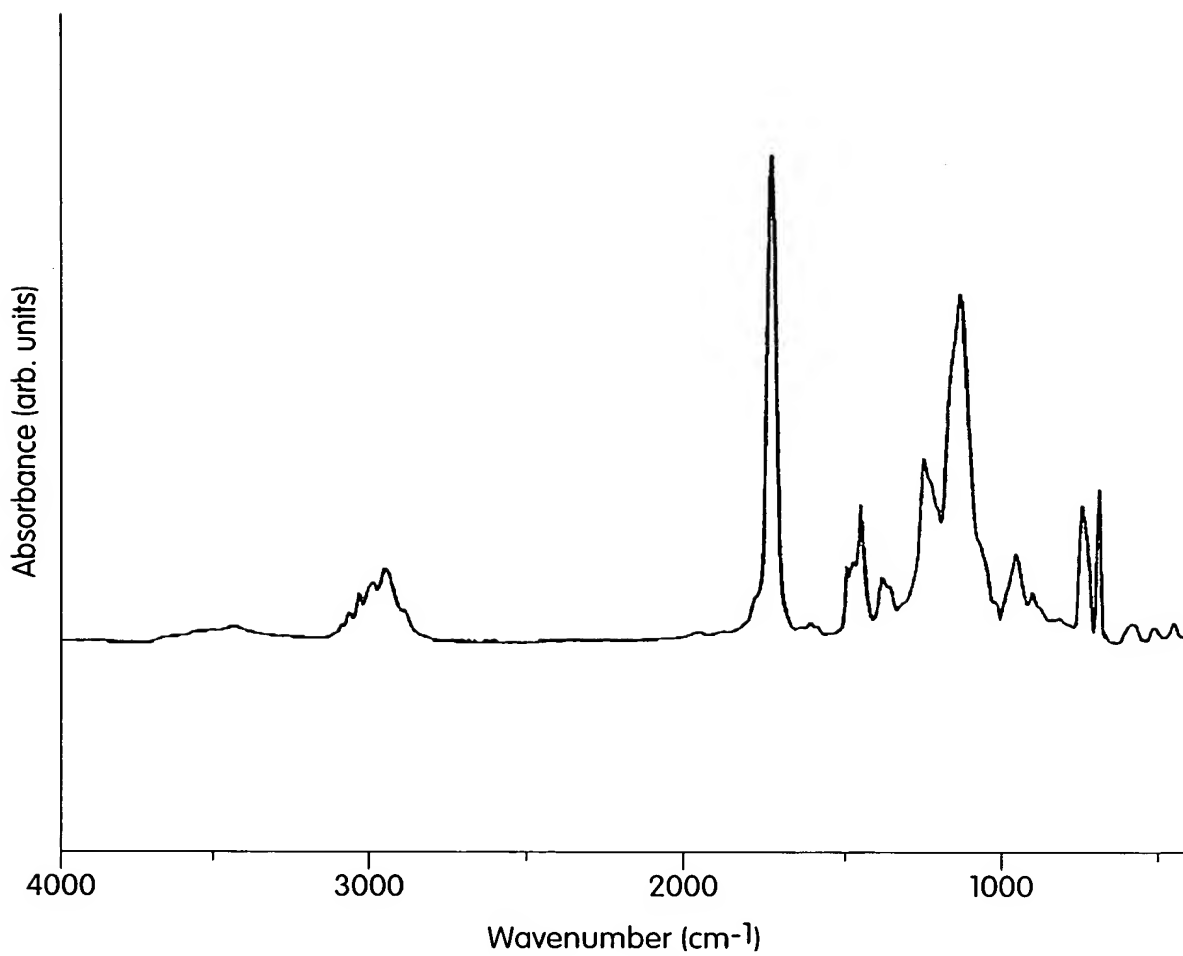


Fig. 7

8/19

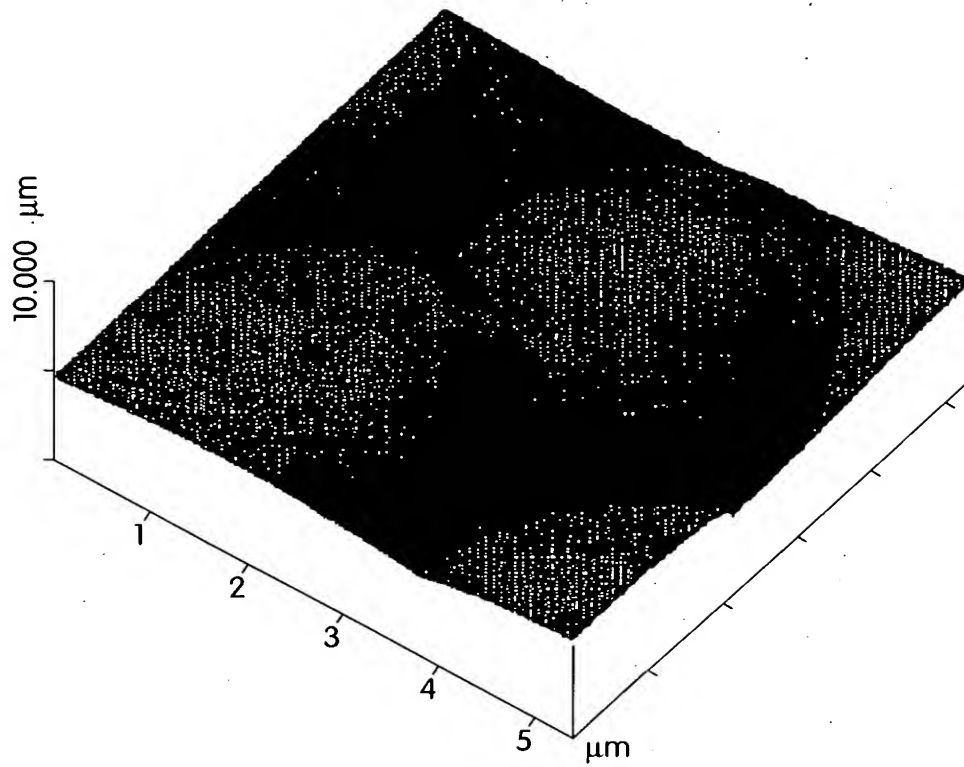


Fig. 8



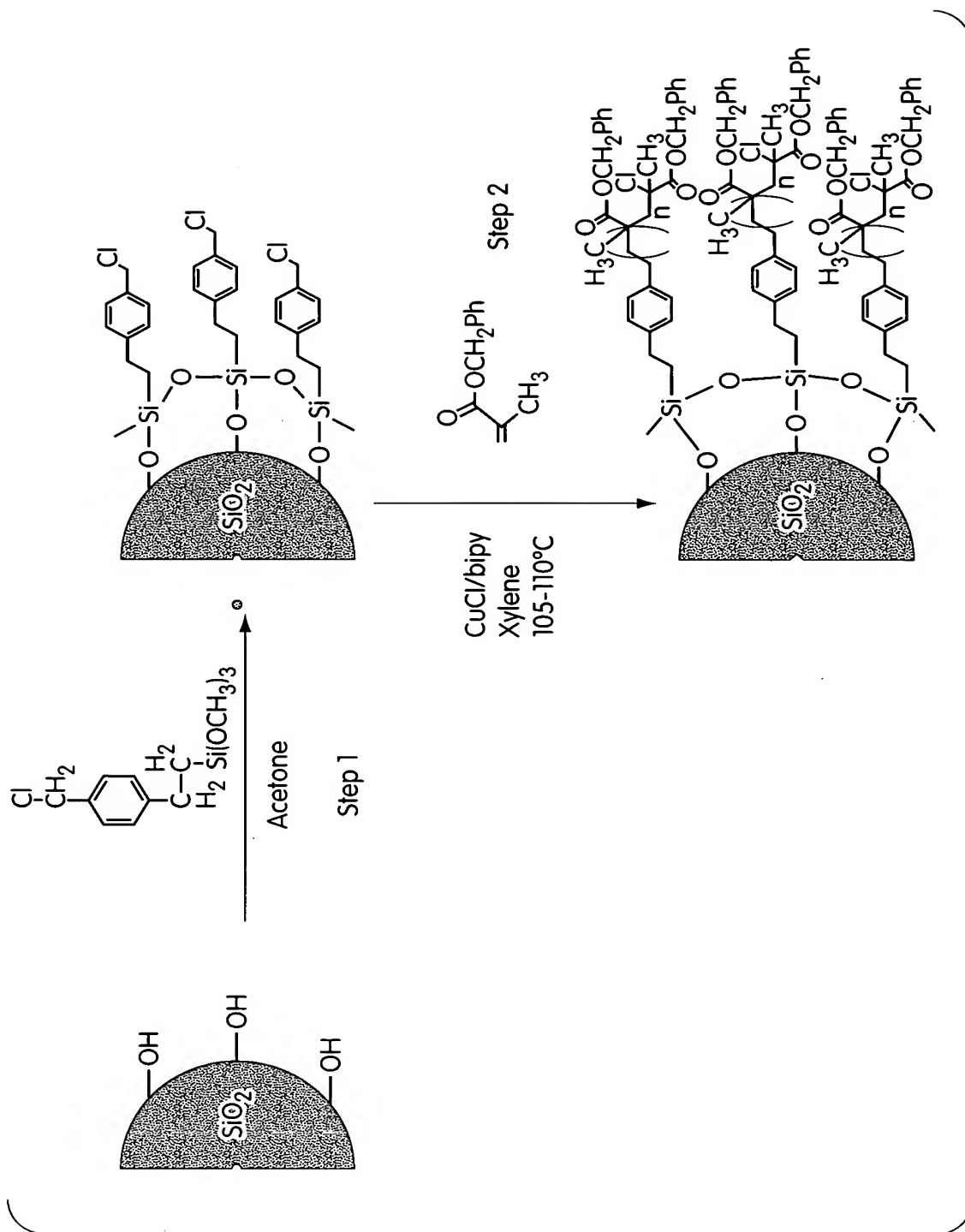


Fig. 9

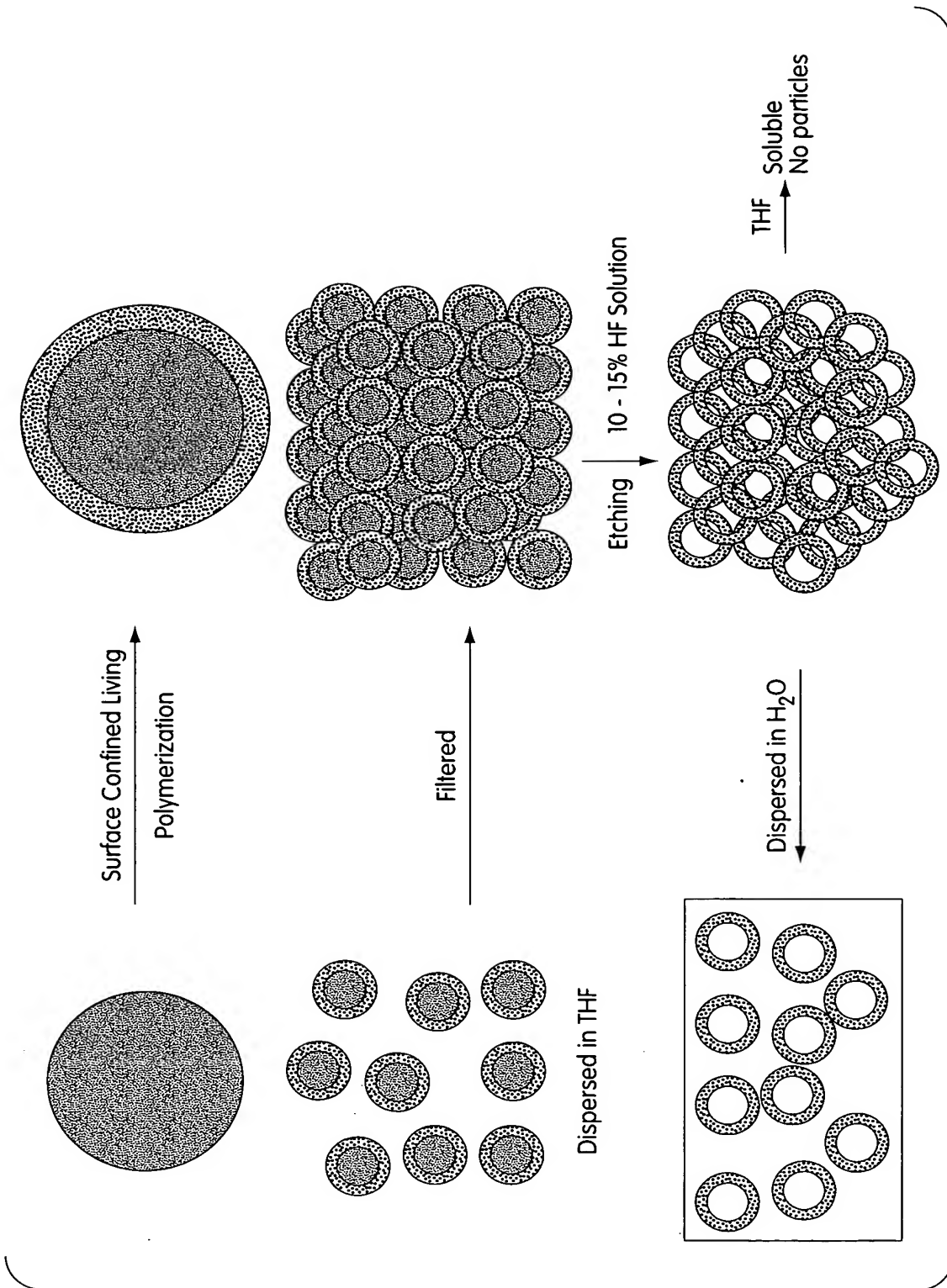


Fig. 10

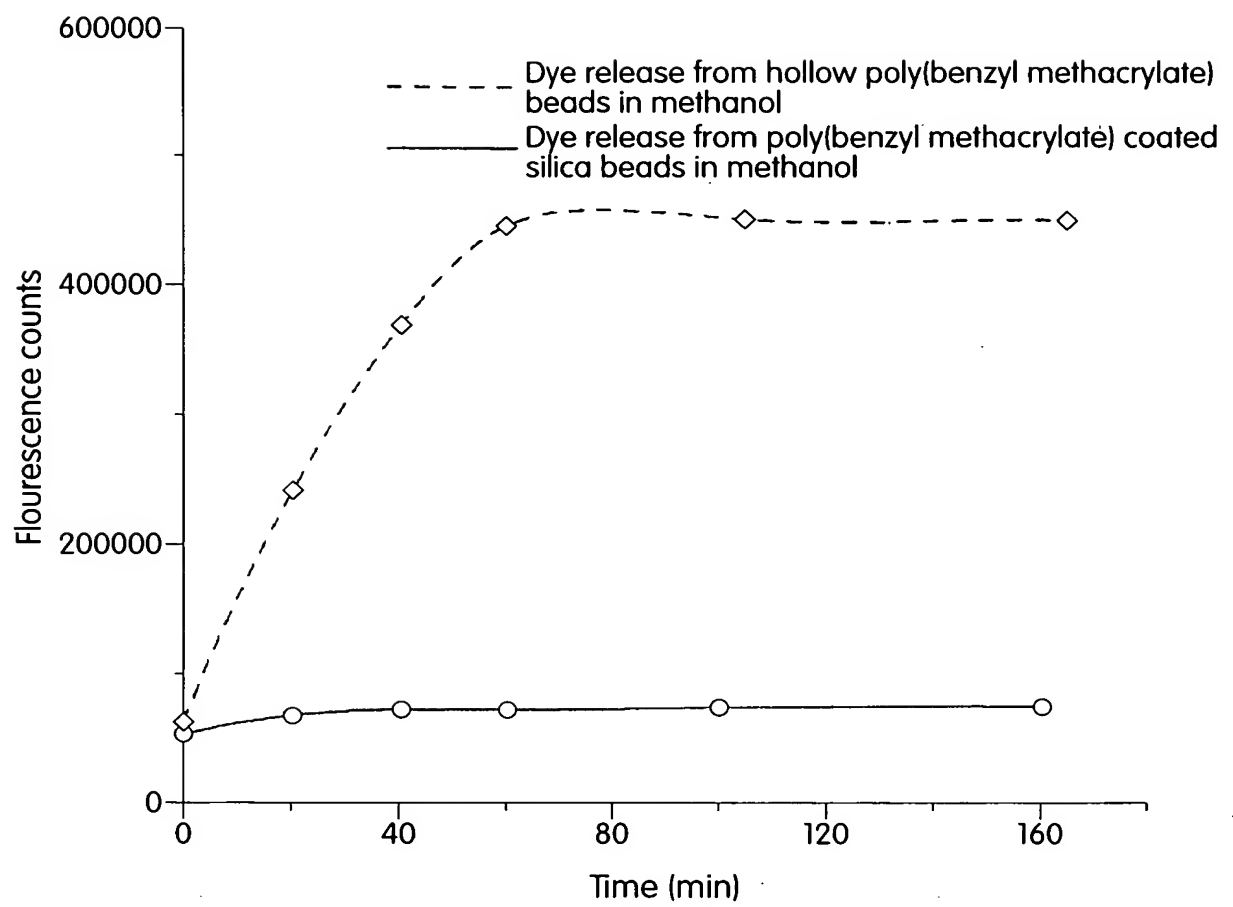


Fig. 11

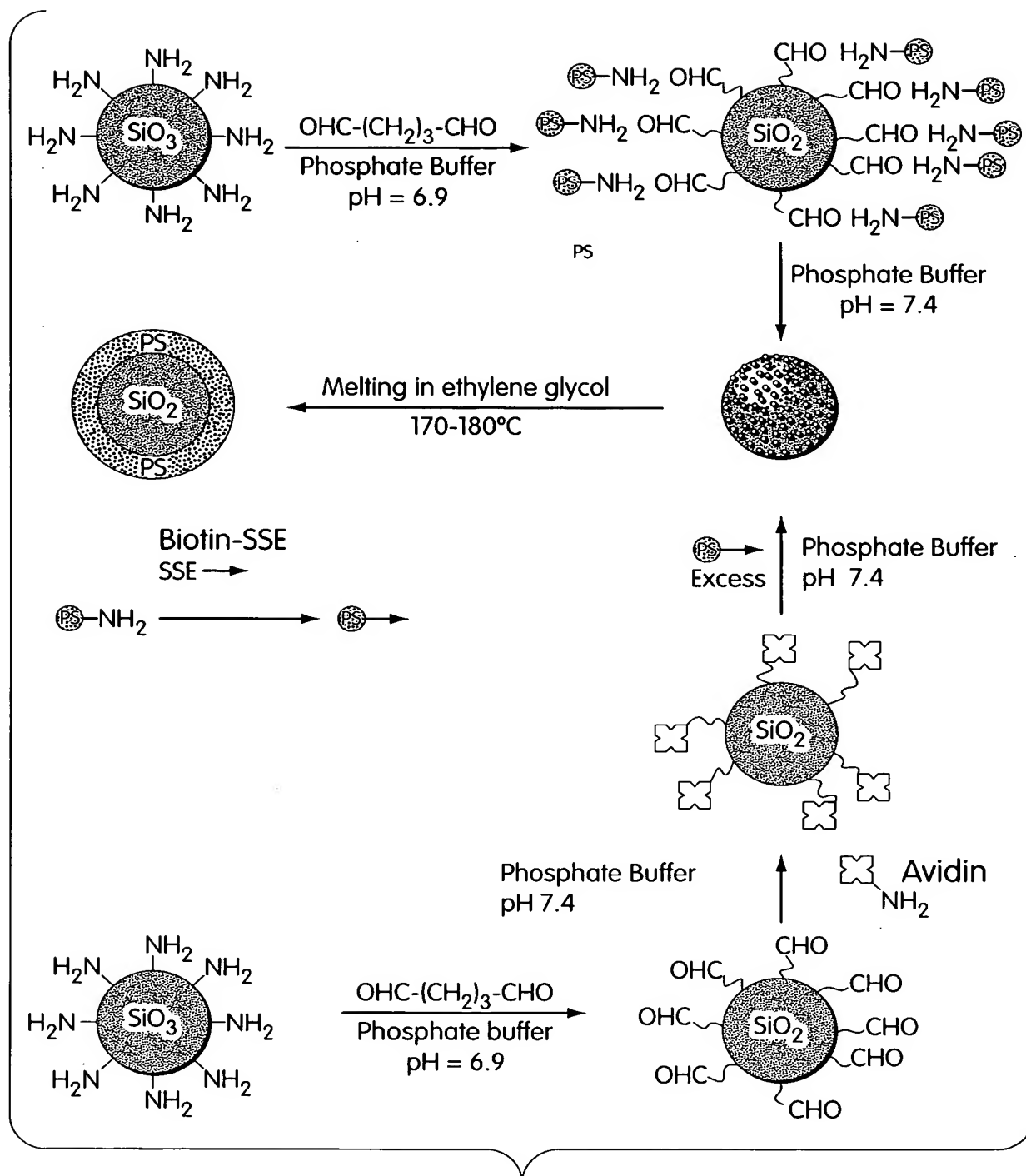


Fig. 12

13/19

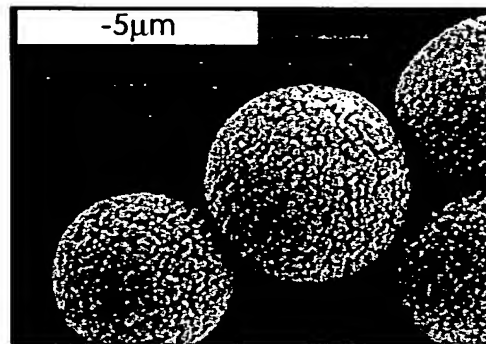


Fig. 13A

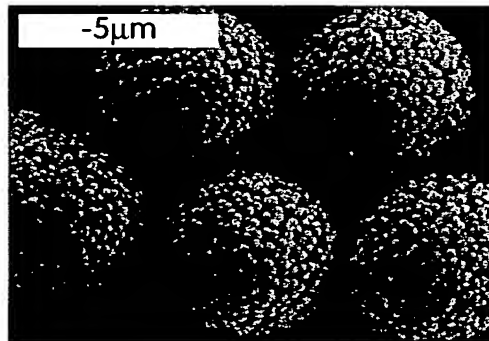


Fig. 13B

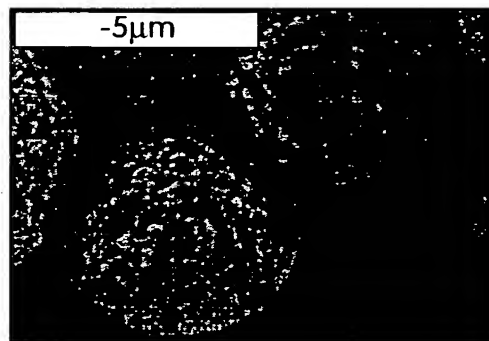


Fig. 13C

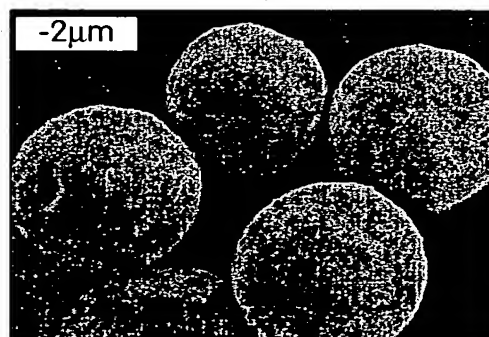


Fig. 13D

14/19

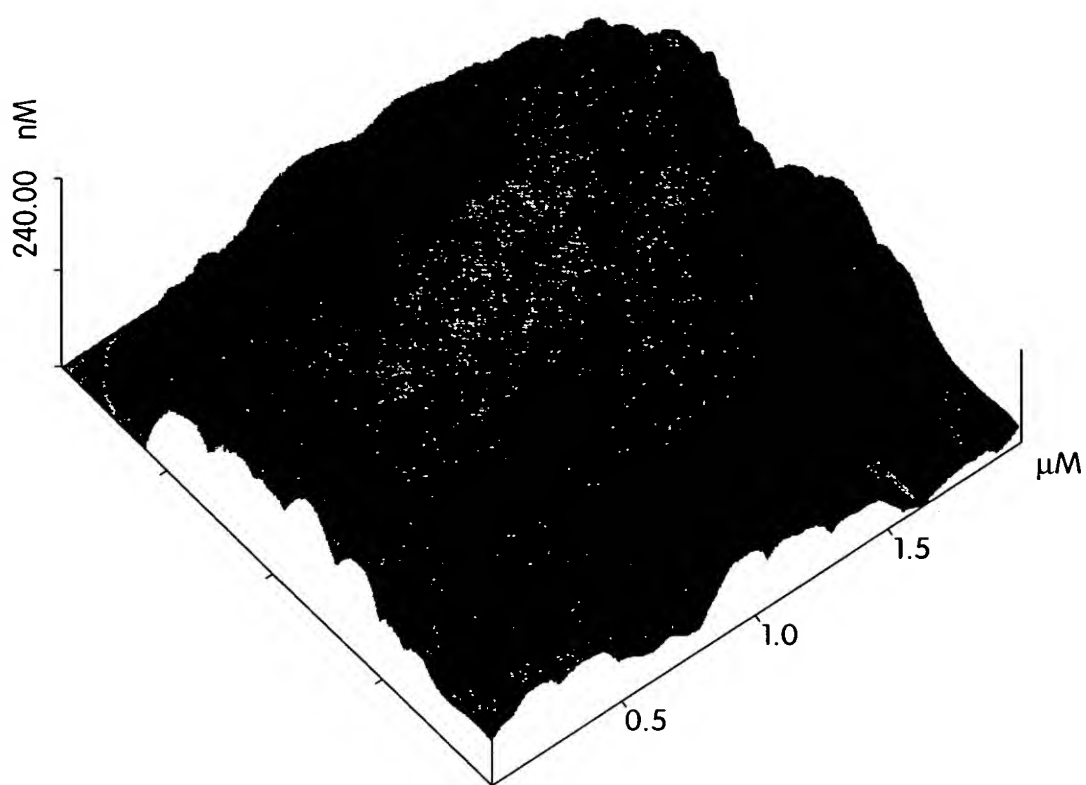


Fig. 14

15/19

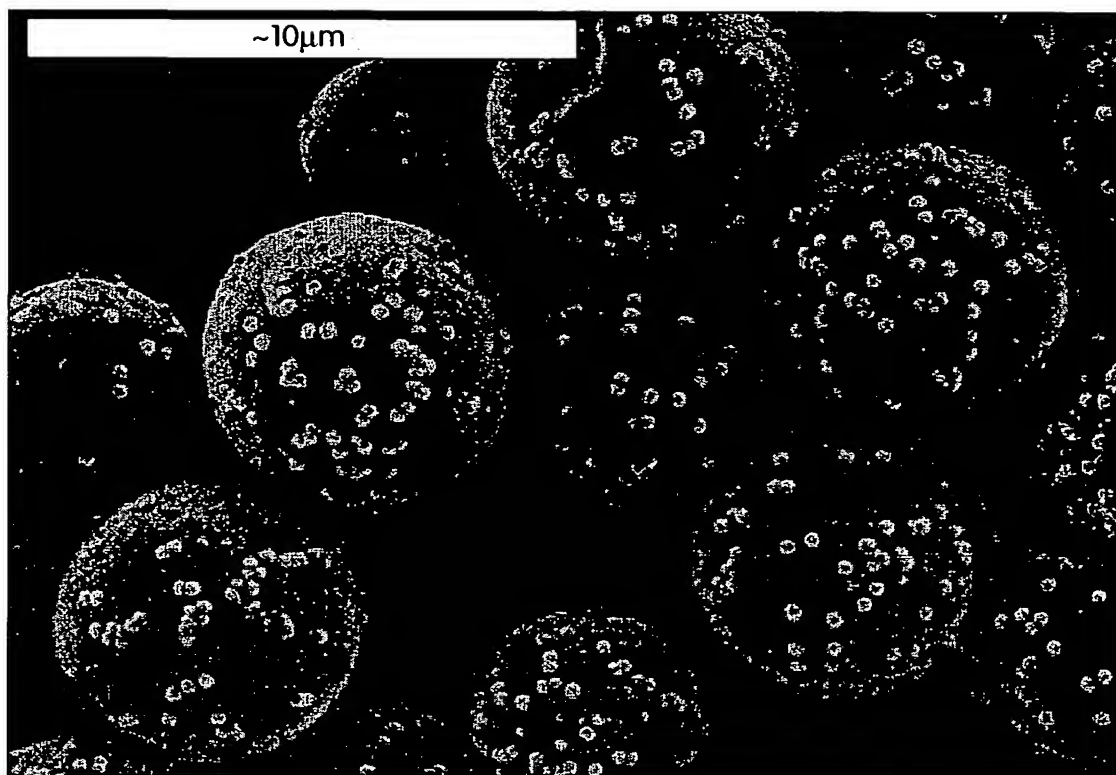


Fig. 15

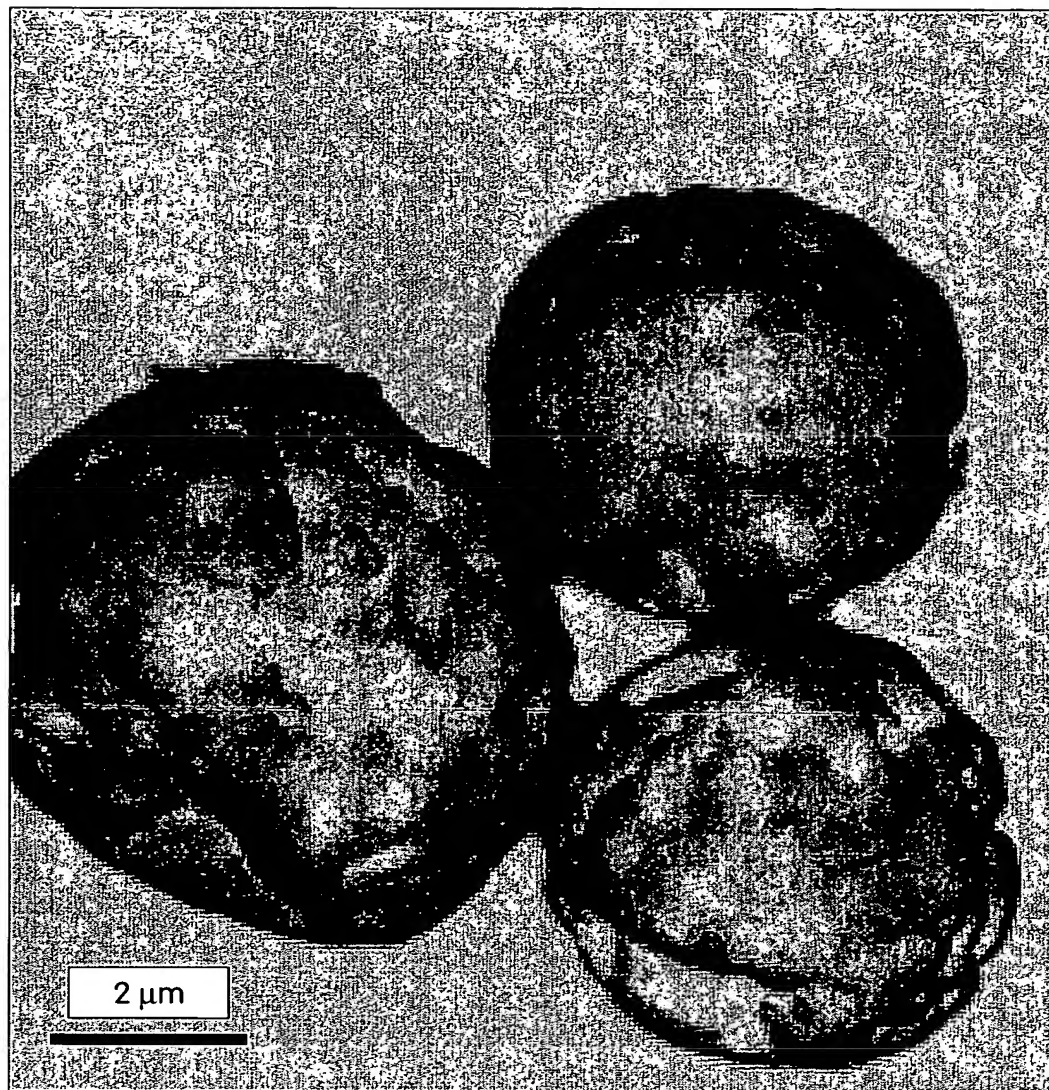


Fig. 16



17/19

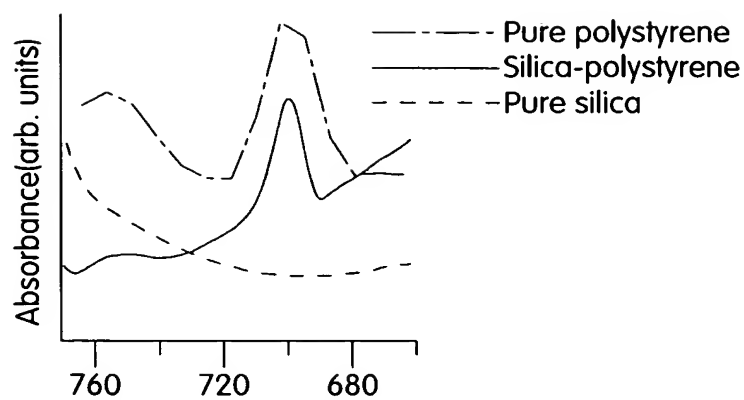


Fig. 17A

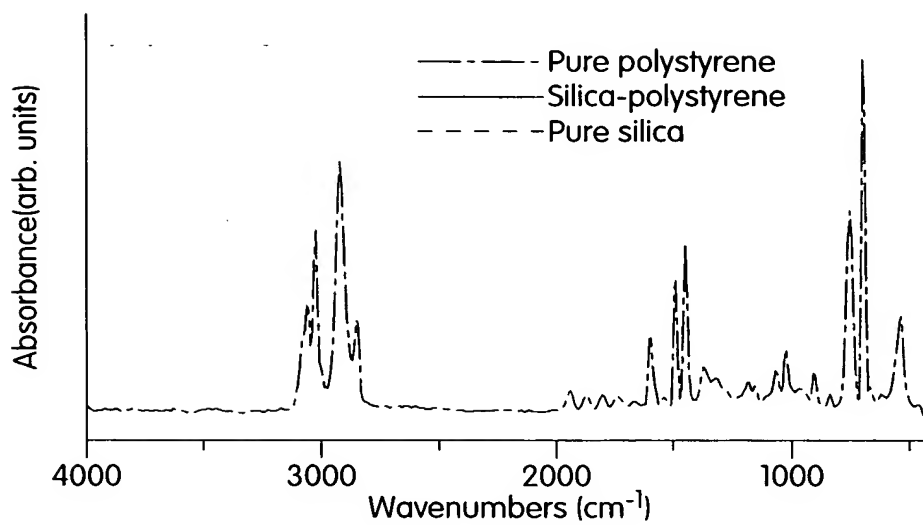


Fig. 17B

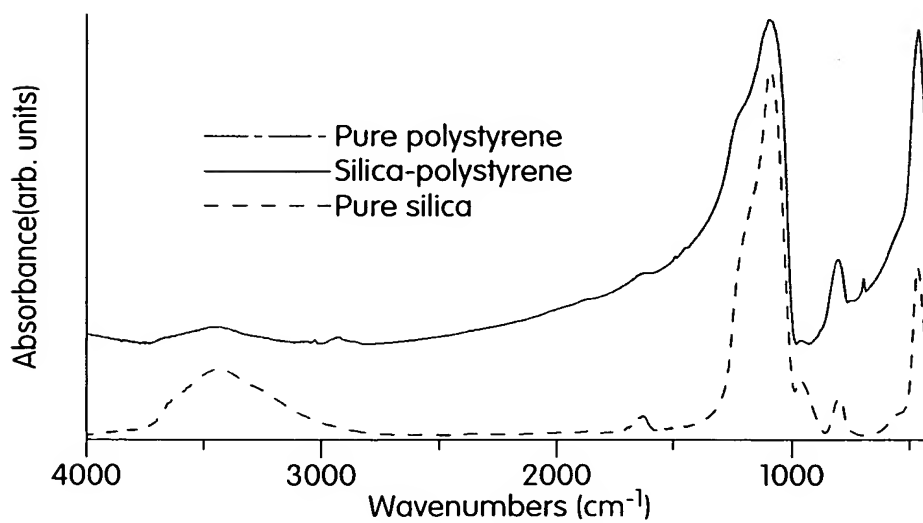


Fig. 17C

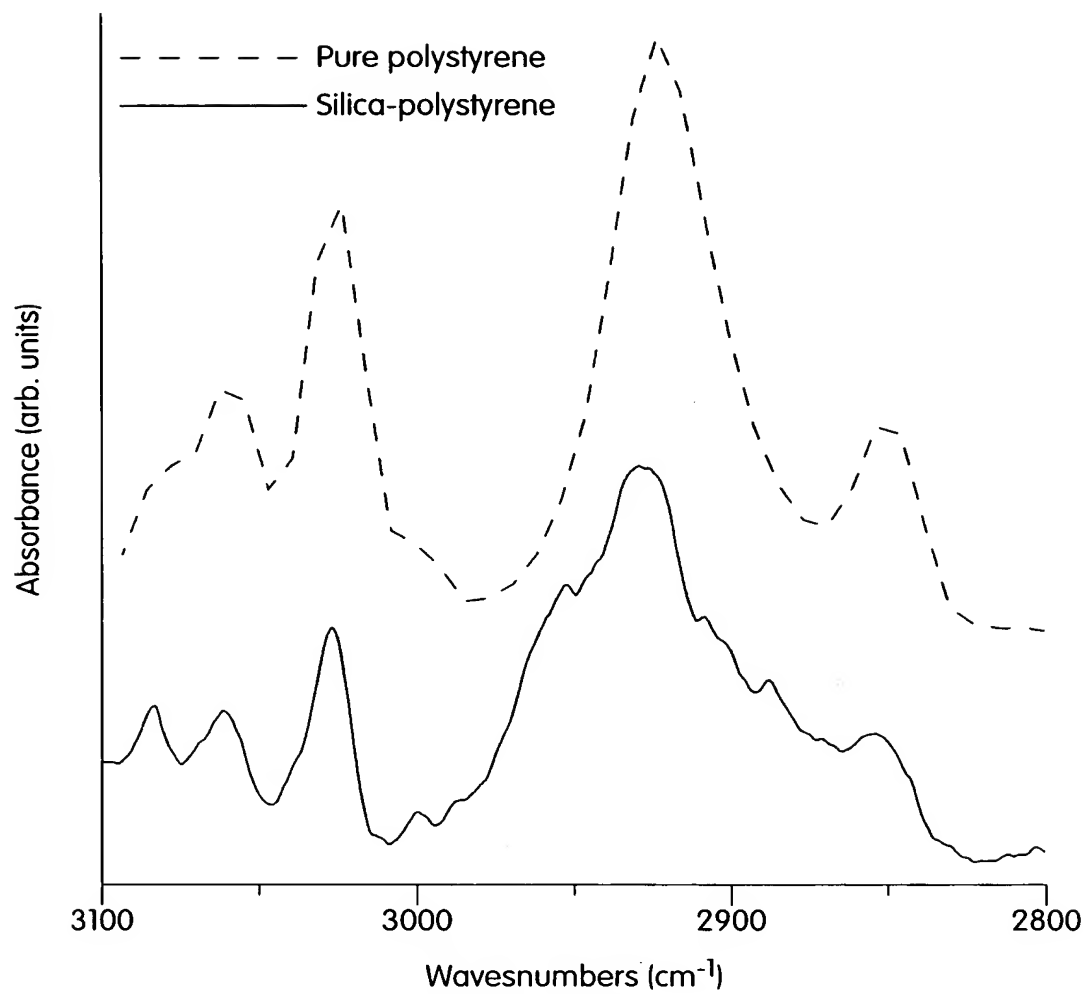


Fig. 18

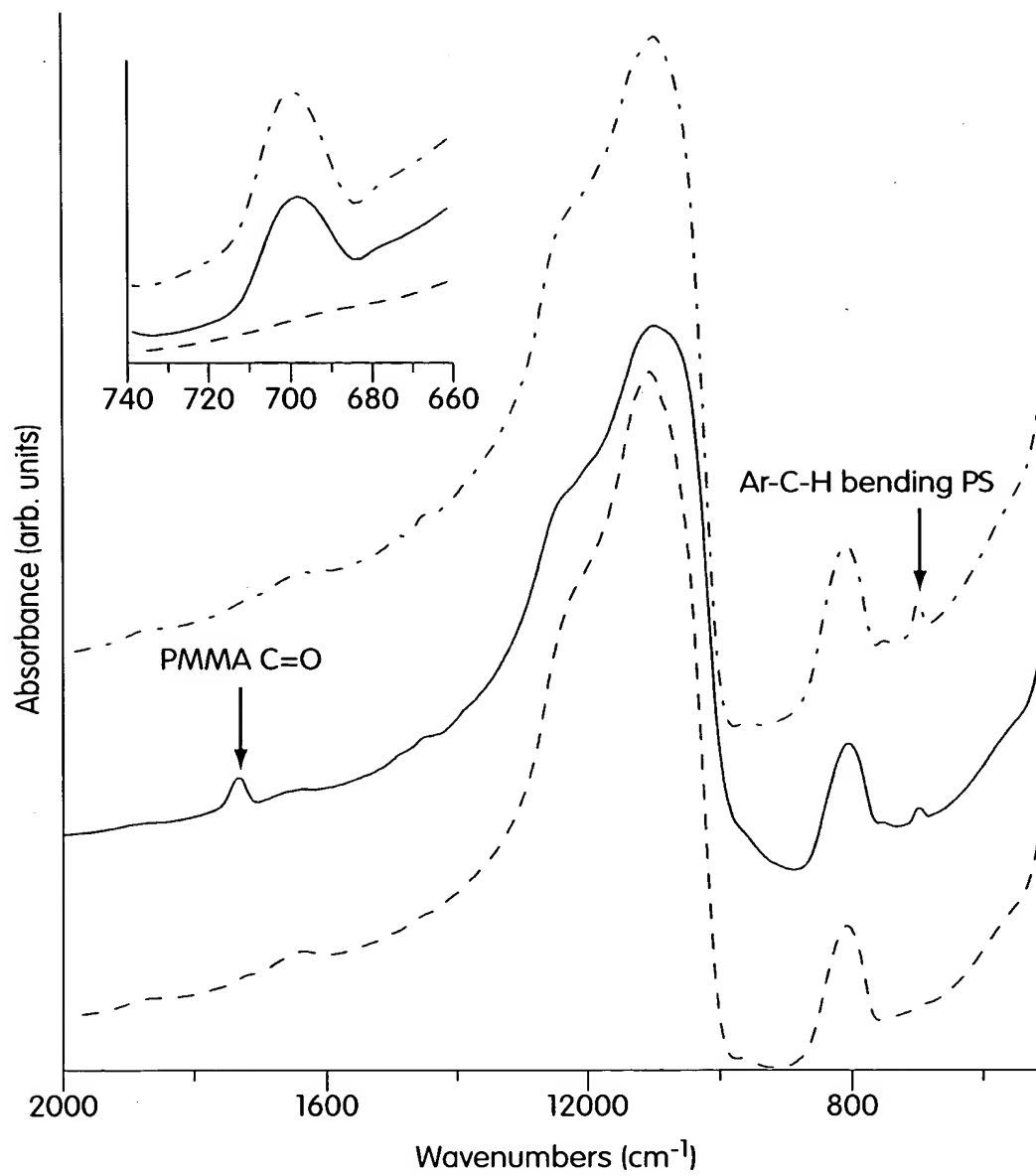


Fig. 19